

20. 色素レーザと TOSCAL 電卓との連動による NO₂ 濃度の定量化

NO₂ GAS ABSORPTION EXPERIMENTS AND MEASUREMENTS OF
THE CONCENTRATION USING A 500PPS PULSE DYE LASER AND
A TOSCAL ELECTRONIC CALCULATOR

木 村 博 一 橋 口 義 則 後 藤 顯 也
Hiroichi KIMURA, Yoshinori HIGUCHI, Kenya GOTO

東京芝浦電気株式会社 総合研究所・計測事業部
TOSHIBA R & D CENTER and INSTRUMENT & AUTOMATION
DIVISION, TOKYO SHIBAURA ELECTRIC CO., LTD.

1. はじめに

世の大気汚染はますます深刻化し、予測や監視体制の整備が急がれている。しかし、種々の汚染ガスの大気環境濃度を場所的、時間的に的確に測定しうる手段は未だ完全でなく、環境基準の制定も測定手段によって限定されている現状であり、より良い大気汚染の測定手段の実現が叫ばれている。

この報告は、NO₂ガスの紫外域吸収帯をDYE レーザを用いて調べ、その定量化を試み、新しい測定方法実現の検討を行なった結果である。データはデジタル化し、プログラム可能でプリントアウト付の卓上電子計算機 TOSCAL を用いて自動測定ならびに演算を行なった。

2. NO₂ の紫外吸収帯

NO₂電子準位による光吸収帯は3,000Å~10,000Åに広がっている。低圧でのNO₂紫外吸収スペクトルに関しては、かなりの測定がなされているが⁽¹⁾⁽²⁾数多くのバンドから成り立っており、顕著な規則性は見出せない。大気圧では、低濃度NO₂の吸収スペクトルは圧力によって広がっており 数10Å程度の不規則な周期で山谷が連続した吸収を示す。(図1)

3. 分光光源としての DYE レーザ

ある程度の波長域にわたる分光をレーザで行なう方法は、DYE レーザ、パラメトリック発振、スピンドリップラマンレーザ、半導体レーザと多くの研究がなされ、従来の分散型の分光器では不可能だった測定が可能となっている。⁽³⁾⁽⁴⁾ NO₂の大気圧中における紫外吸収では、数Åが分解できれば十分であり、波長域の関係から、共振鏡にグレーテングを用いたDYE レーザを分光光源として測定した。

N_2 分子レーザ (3371 Å, 出力 100 kW, 立上り 4 n sec, 半値幅 10 n sec, 最高くなり返し 500 pps) で 4-MU を横方向から励起し, 共振鏡のグレーティングを回転させることにより, 4100 Å~4450 Å にわたり, 連続可変波長レーザを得ている。DYE レーザのパルス出力は, 10 μJ~100 μJ/pulse, 半値幅約 5 n sec で, スペクトル半値幅は 5 Å 程度である。 N_2 レーザの出力は極めて安定であるが, DYE レーザパルスは出力変動が大きくその値は 10% にも及んでいる。

サンプリングホールド回路と X-Y レコーダを用いて(図2)レーザ波長を連続的にスキャンさせ, そのレーザ出力を描かせたのが図(3)である。図(4)は, 光検出器との間に NO_2 ガスセルを入れ, その吸収スペクトルを描かせたものである。

4. NO_2 ガス濃度定量化とデジタル信号処理

NO_2 吸収スペクトルの山と谷の大きさから, その濃度を定量することができ, 次のような関係が成り立つ。

$$\bar{n} L = \frac{1}{\sigma_1 - \sigma_2} \ell_n \frac{I_{o1} I_2}{I_1 I_{o2}} \quad (1)$$

ここで, \bar{n} は光路長 L 中の平均濃度, σ_1 , σ_2 は波長 λ_1 , λ_2 における NO_2 の吸収断面積, I_1 , I_2 は波長 λ_1 , λ_2 における信号強度, I_{o1} , I_{o2} は波長 λ_1 , λ_2 におけるレーザ出力である。

σ_1 , σ_2 は λ_1 , λ_2 に 4400 Å 付近の吸収の山と谷をえらべば

$$\sigma_1 - \sigma_2 \approx 2 \times 10^{-19} \quad [cm^2] \quad (2)$$

となり, $I_{o1} I_2 / I_1 I_{o2}$ の精度で, 定量できる最小値濃度が決定される。(図5)前述のように DYE レーザ出力には 10% 以上の変動があり, 低濃度の定量には I_{o1} , I_{o2} も測定し, (1)式の演算を行なう必要がある。測定値である I_{o1} , I_1 , I_{o2} , I_2 を A/D コンバータによって 12 bit のデジタル量に変換し, TOSCAL に入力し, 割算, 平均計算, 誤差計算, ℓ_n 演算等の処理を行なうことによって, $I_{o1} I_2 / I_1 I_{o2}$ の精度が 1% の信号処理系を構成した。(図6) TOSCAL (BC-1492 PR) は簡単な改造でデジタル信号入力が可能であり, 演算処理(判断, ジャンプを含む)を 128 ステップまで記憶し, 自動的にプログラムを実行でき, 磁気テープやマーケットによるプログラムの保存も可能である。

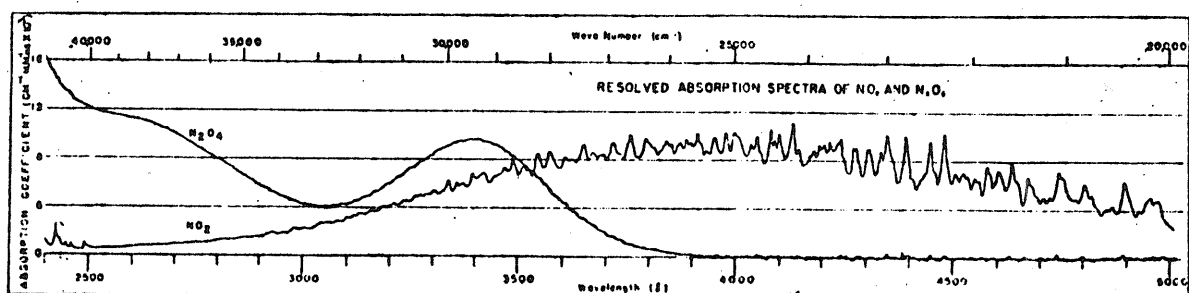
この信号処理系を用い、純粋窒素で希釈した 0.10% と 1.20% の NO₂ 標準ガス（当社堀川町工場製）を 20 cm 長のセルに入れ定量したところ、ほぼ計算値との一致をみた。0.10% 20 cm セルでは、600 ppm-m に相当する。S/N=1 とすればこの測定系で 20 ppm-m まで定量できることになる。

5. おわりに

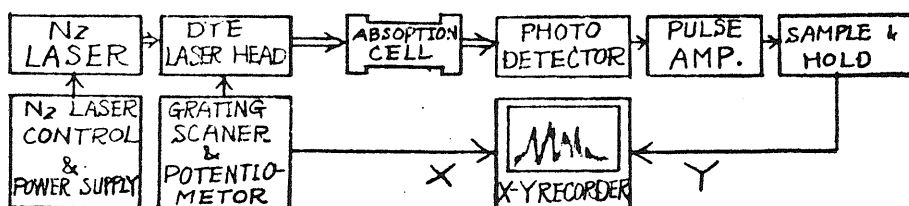
パルス DYE レーザを用いて、NO₂ ガスの紫外吸収スペクトルを分光し、その定量が 20 ppm-m まで可能なことを実験によって確かめた。分解能の点では従来の分光器に比らべて有効性はないが、レーザ光源であることによる有効性は大きく、吸収形レーザ、レーダ等への応用が考えられる。⁽⁵⁾⁽⁶⁾⁽⁷⁾

定量化のデータ量、演算処理時間等には不満な点があり、また、系のリニアリティや NO₂ 以外のガス混入による影響等の問題が残されている。

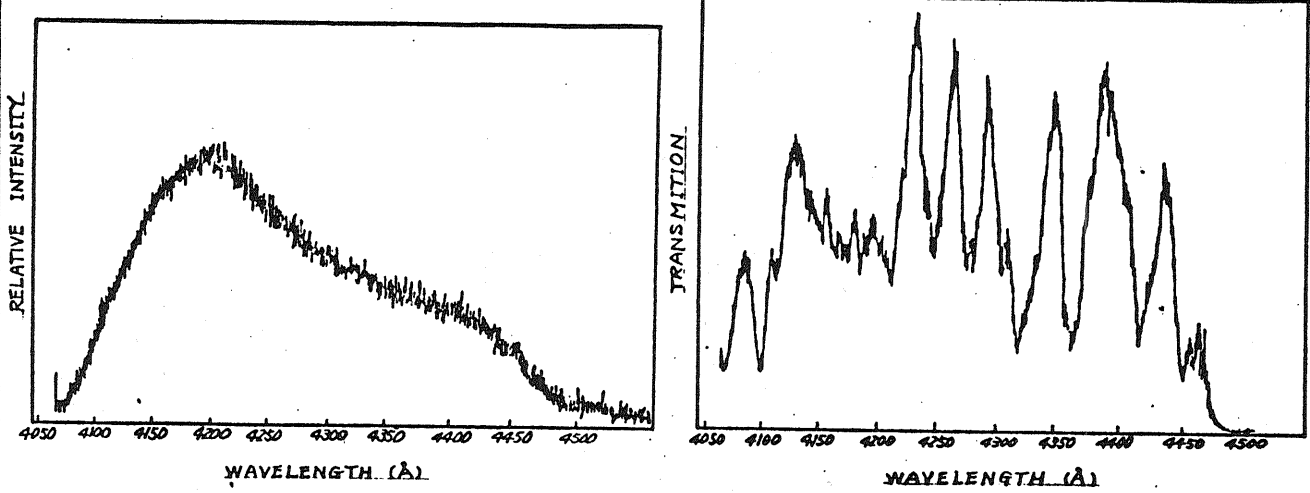
- 文献
- (1) A.E. Douglas & K.P. Huber ; Canadian J. of Phys., 43, 74 (Jan. 1965)
 - (2) T.C. Hall, JR. & F.E. Blacet ; J. of Chem. Phys. 20, 1745 (Nov. 1952)
 - (3) E.D. Hinkley & P.L. Kelky ; Science, 171, 635 (Feb. 1971)
 - (4) H.R. Schlossberg & P.L. Kelly ; Physics Today (July 1972)
 - (5) 猪股、五十嵐；量エレ研資料 QE70-36 (Dec. 1970)
 - (6) H. Kildal & R.L. Byer ; Proc. IEEE 59, 1644 (Dec. 1971)
 - (7) 伊東(克), 伊東, 中原 ; 47 年電通学会 S-10-3



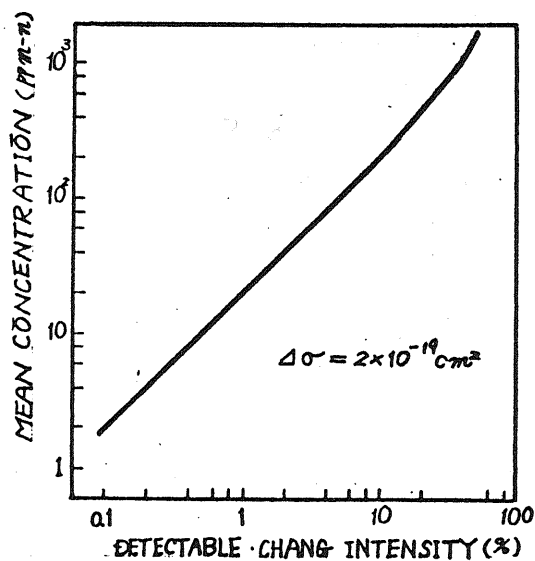
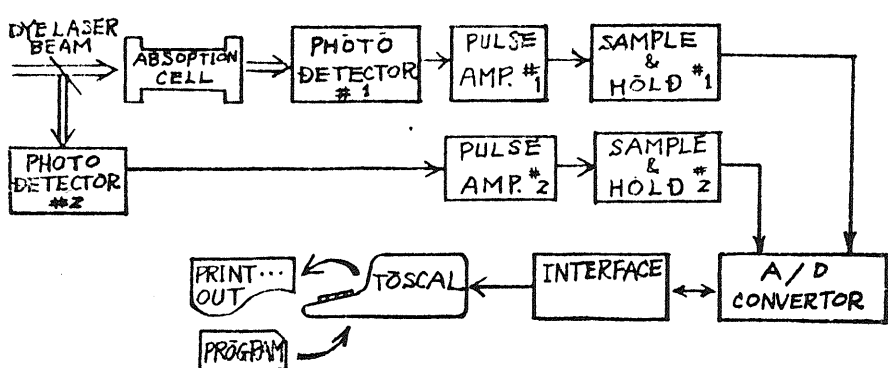
(図 1) NO₂ と N₂O₄ の吸収係数 ($1/P\ell \log_{10} I_0/I$) 文献(2)より



(図 2) DYE レーザによる分光実験系統図



(図3) 波長-DYEレーザ出力特性

(図4) DYEレーザによるNO₂吸収スペクトルの分解(図5) $I_{01}I_2 / I_1I_{02}$ の測定精度と最小検出濃度の関係

(図6) デジタル信号処理系系統図